

多点負荷による鉄筋コンクリートばかりの力学的考察*

加賀美一二三**・二木 和夫***・長谷川 博**

Study of the Dynamical Properties of Simply Supported Reinforced Concrete Beams subjected to Multiple Loading —Case of Three Concentrated Loads—

Hifumi KAGAMI, Kazuo FUTATSUKI and Hiroshi HASEGAWA

Abstract

This investigation, involving the testing 12 specimens—each 3 specimens for the steel, deformed steel bar under and over reinforced concrete beams—subjected to 3 concentrated varying loads are the minimum case on multiple loading, contributes useful data on dynamical property.

The authors experimented with the loading method by oil pressure multipliable apparatus. Then, they described that loading observations and conclusions are based on the failed states of reinforced concrete beams may be represented with bending on under reinforced concrete beams, many effects of shear on over them, the capabilities of judicatory standards by a/d of the failed boundary may be applied approximately, concerning with steel bar and deformed steel bar reinforced concrete beams, the latters may be small deflections, crack states small and uniformity, and safety on dynamic within also the limits of these researches.

1. 緒 言

鉄筋コンクリートばかりにおける多点負荷によるせん断に対する力学的考察は、本邦においてほとんど実施されていない。すなわち、従来せん断に対する研究の場合の荷重法は1点または2点載荷によるいわゆる第1グループの場合であり、著者の一人はその成果⁴⁾を報告しており、第2グループの場合である3点負荷の場合についてもその成果の一部⁵⁾の報告がある。しかしながら後者の場合載荷法をスプリング装置を使用したので十分の実験と考えられない点もあったので、本研究においては油圧多点等載荷装置により3点負荷したのであるが、実験考究の結果はほぼ満足される成果が得られたものと考えられる。すなわち、供試体のはりは丸鋼、異形丸鋼ばかりにて、低鉄筋、過鉄筋コンクリートばかりについて破壊実験を実施し、鉄筋コンクリートばかりの破壊機構を考察したもので、この場合破

壊様相は低鉄筋ばかりは曲げ、過鉄筋ばかりはせん断の影響大となること、多点負荷によるはり破壊様相の限界も著者の既報³⁾のa/dによる破壊領域判定の基準がほぼ適用されることを述べ、丸鋼、異形丸鋼の差違は後者がたわみ小、ひびわれ様相の小と均等性などより、本実験の範囲においても力学的に安定なることを述べたものである。

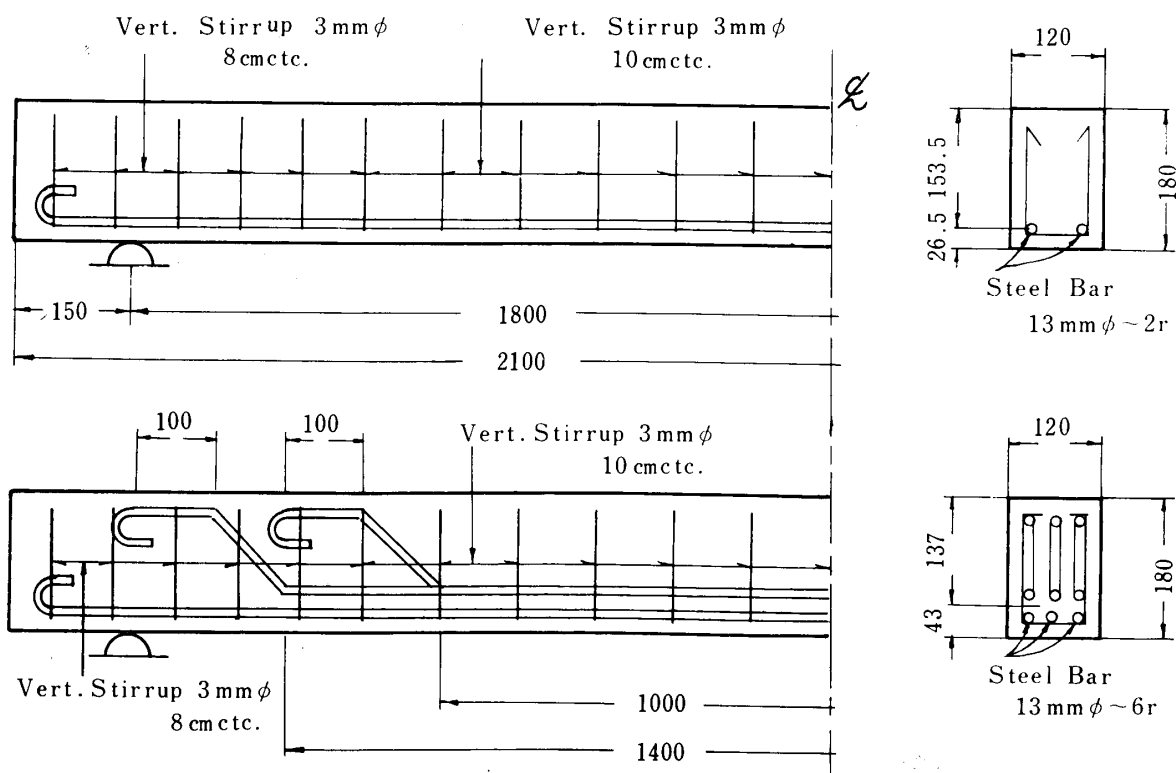
2. 実験材料および実験装置

細骨材の粗粒率2.69、細、碎石粗骨材の比重は2.54, 2.69、粗骨材の最大寸法20mmのものを用い、セメントは普通ポルトランドセメントにて、供試体コンクリートの単位水量、セメント量、細、粗骨材量は185, 283, 717, 1,150kg/m³にて、スランプは6.0±1cmである。鉄筋の公称径は13mm、その実断面積による平均降伏点応力は丸鋼は2,900kg/cm²、異形丸鋼は

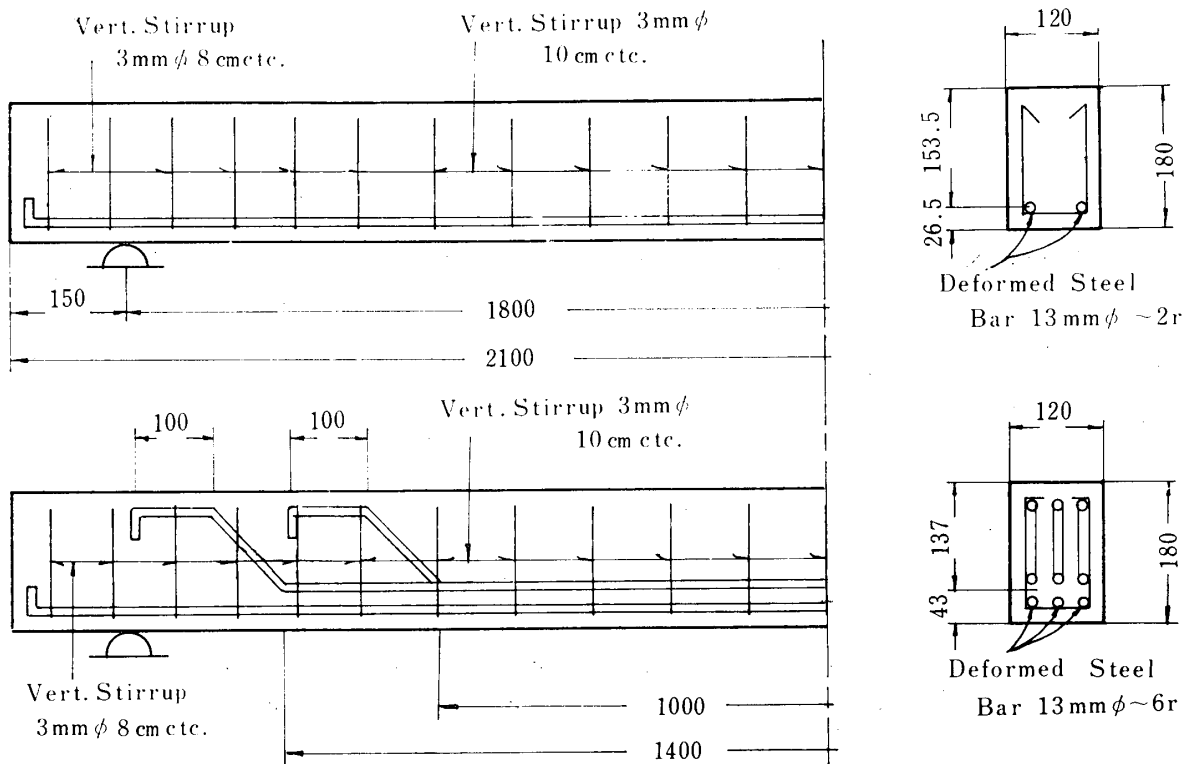
* 土木学会中四国支部講演会、11月24日、1966、に発表のもの

** 土木工学教室

*** 宇部興産株式会社



a Beams of steel bar



b Beams of deformed steel bar

Fig. 1 Details of reinforced concrete beam specimen

$3,620 \text{ kg/cm}^2$ である。

はり供試体ははり巾12cm, はり高さ18cm, はりの全長2.1mとし, 低鉄筋ばかり～丸鋼ばかり3本, 異丸鋼ばかり3本, 過鉄筋ばかり～前者と同様各3本づつ造形した。この構造図は Fig. 1 のごとくである。

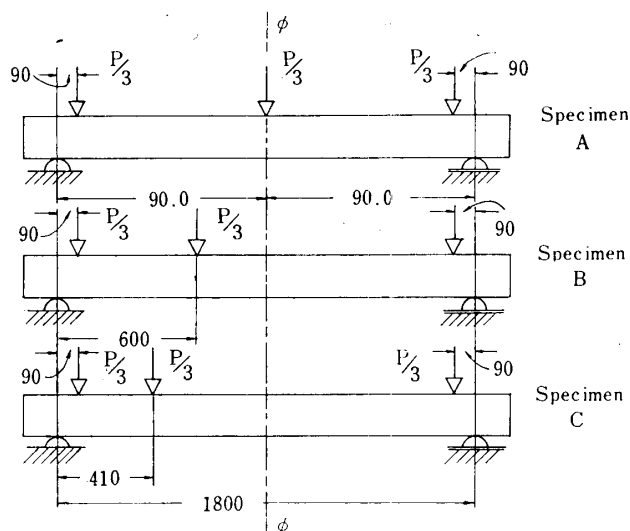


Fig. 2 Loaded positions of specimens A, B, C

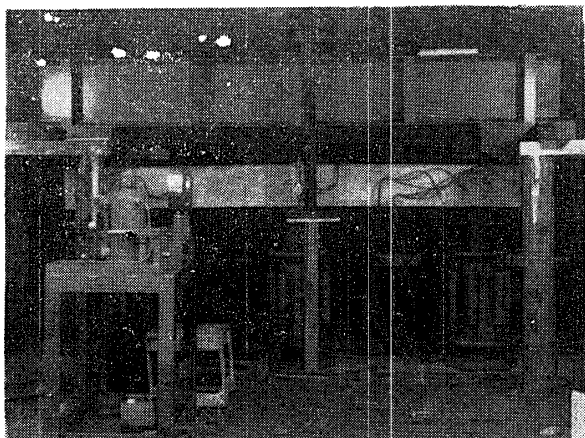


Photo. 1 Case of specimen A

負荷にあたつては Fig. 2 のごとく供試体 A, B, C とし, 3点荷重中の中荷重の負荷位置を変化したものである。

これが実験破壊後の状態は Photo. 1, 2, 3 に示すごとくである。

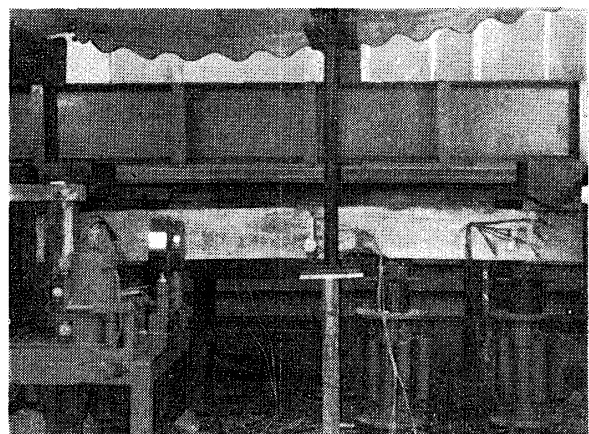


Photo. 2 Case of specimen B

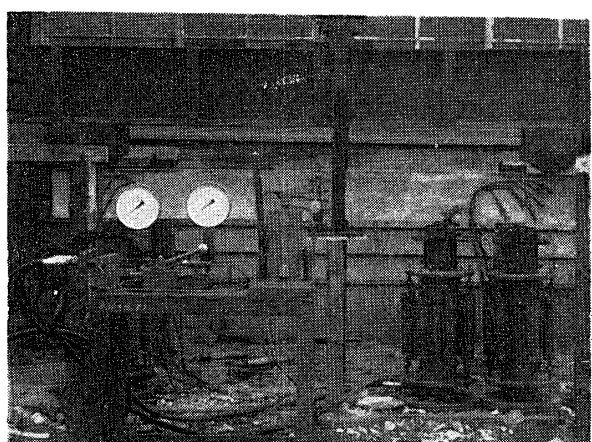


Photo. 3 Case of specimen C

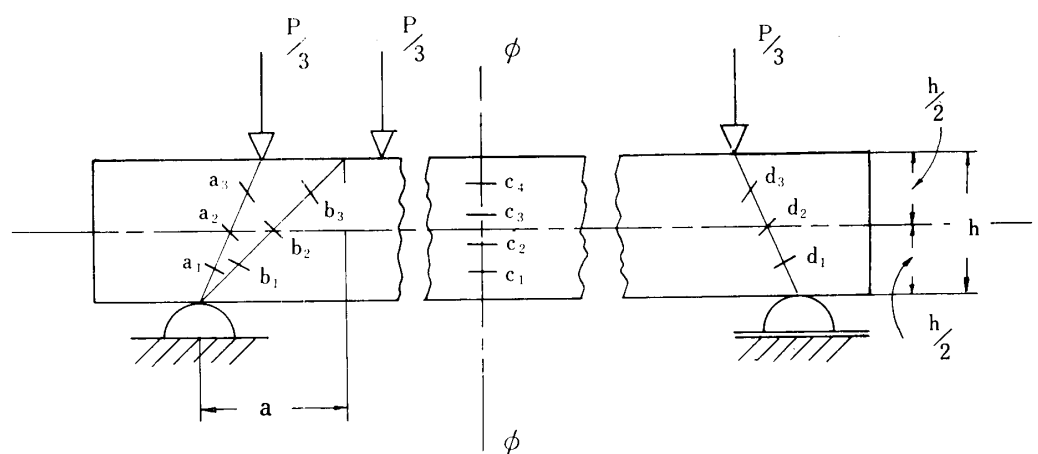


Fig. 3 Positions of pasted paper gauges for measured strain of reinforced concrete beam

負荷時における鉄筋コンクリートばかりのひずみ関係を求めるために、Fig. 3 のごとく片側4ヶ所、両側対称位置にペーパーゲージを貼り、その平均値をその位置のひずみとした。

3. 実験結果

Table 1 σ_{cy} and ϵ_u for concrete specimen

| Kinds of specimen | URC(steel bar) A, B | ORC(steel bar) A, B | URC, ORC (steel bar) C | URC(Defor. steel bar) A, B | ORC(Defor. steel bar) A, B | URC, ORC (Defor. steel bar) C |
|-------------------------------|------------------------|------------------------|------------------------------|----------------------------------|----------------------------------|-------------------------------------|
| $\sigma_{cy}, \text{kg/cm}^2$ | 264 | 241 | 258 | 234 | 227 | 234 |
| $\epsilon_u, 10^{-4}$ | 20.0 | 19.8 | 18.7 | 20.4 | 20.9 | 21.4 |

3.2 各はり供試体の a_2 , b_2 , d_2 位置の斜ひずみの様相

ペーパーゲージ位置 a , b , d における a_1 , a_3 , b_1 , b_3 , d_1 , d_3 は理論的には、せん断応力と曲げ応力と

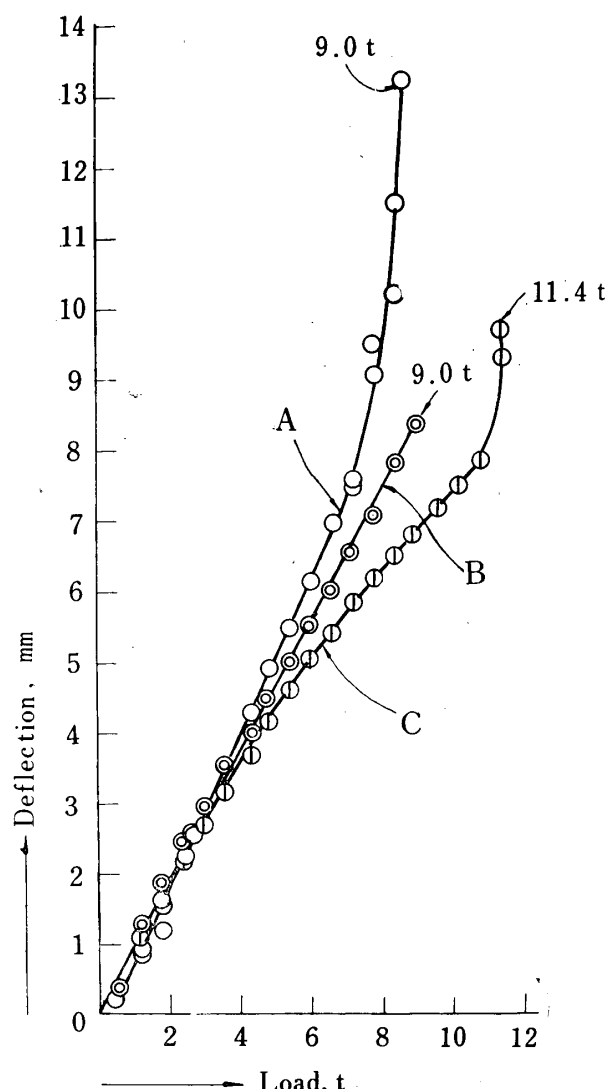


Fig. 16 a Load-deflection of URC steel bar beam

Vol. 18, No. 1 (1967)

3.1 供試体用コンクリートの圧縮破壊強度 σ_{cy} とそのひずみ ϵ_u

前項に述べた配合による供試体コンクリートを平均水中養生約17.0°Cにした場合の σ_{cy} と ϵ_u は Table 1 となつた。いま、URC を低鉄筋ばかり、ORC を過鉄筋ばかりとする。

が合成されるので、この考察は後日にゆずり、 a_2 , b_2 , d_2 の主としてせん断応力によるひずみ値と、はりスパン中央における曲げひずみの測定値のみを示すと、低鉄筋丸鋼ばかり Fig. 4, 5, 6 の a, b 図、過鉄筋丸鋼ばかりは Fig. 7, 8, 9 の a, b 図、低鉄筋異形丸鋼ばかりは Fig. 10, 11, 12 の a, b 図、過鉄筋異形丸鋼ばかりは Fig. 13, 14, 15 の a, b 図になる。

3.3 各はり供試体の荷重実験時のたわみ様相

低鉄筋丸鋼ばかりについては Fig. 16, a、過鉄筋丸鋼ばかりは Fig. 16, b、低鉄筋、過鉄筋異形丸鋼ばかりは

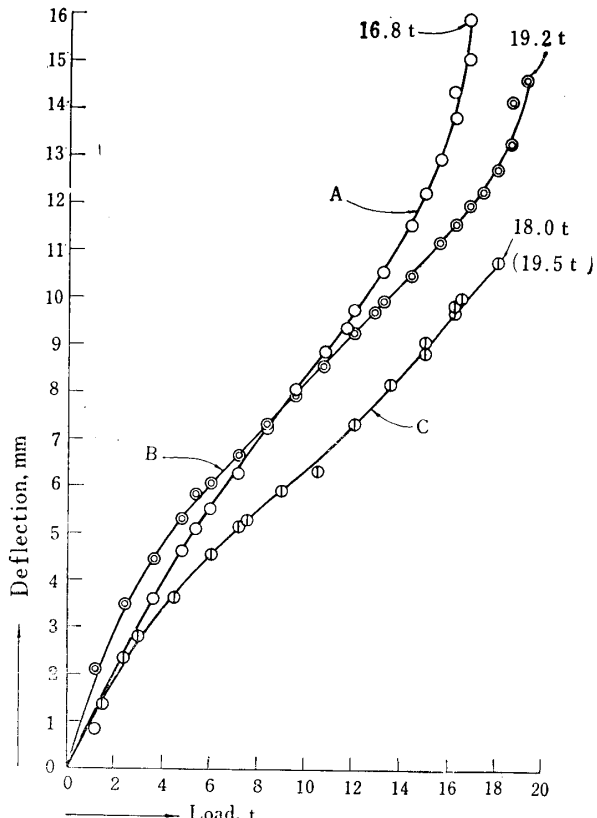


Fig. 16 b Load-deflection of ORC steel bar beam

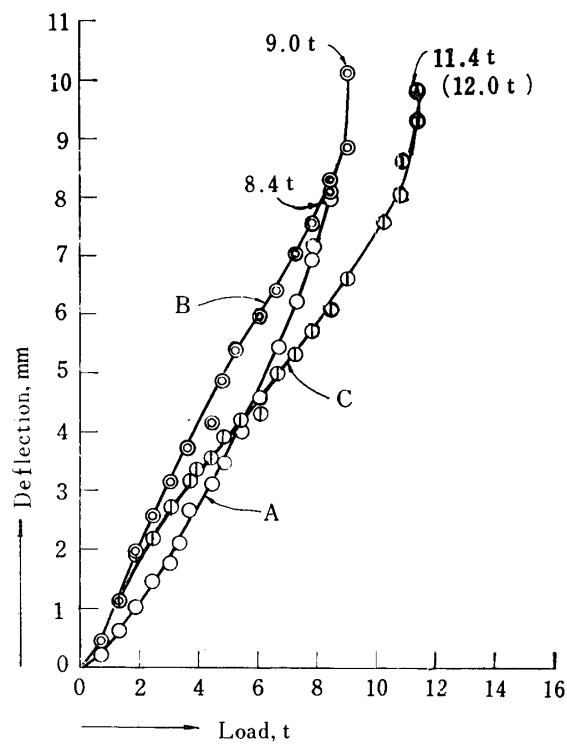


Fig. 17 a Load-deflection of URC deformed steel bar beam

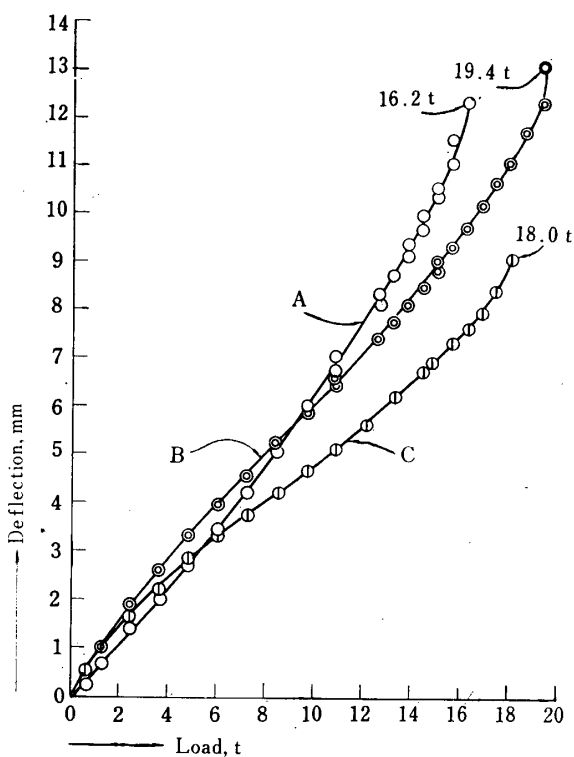


Fig. 17 b Load-deflection of ORC deformed steel bar beam

Fig. 17, a, bに荷重一たわみの関係測定値を示した。

3.4 破壊供試体のひびわれ様相の写真

はり供試体のひびわれ様相は、低鉄筋、過鉄筋丸鋼

ばかりは Photo 4, a, b, Photo. 5, a, b, 低鉄筋、過鉄筋異形丸鋼ばかりは Photo. 6, a, b, Photo. 7, a, b に示すとくである。

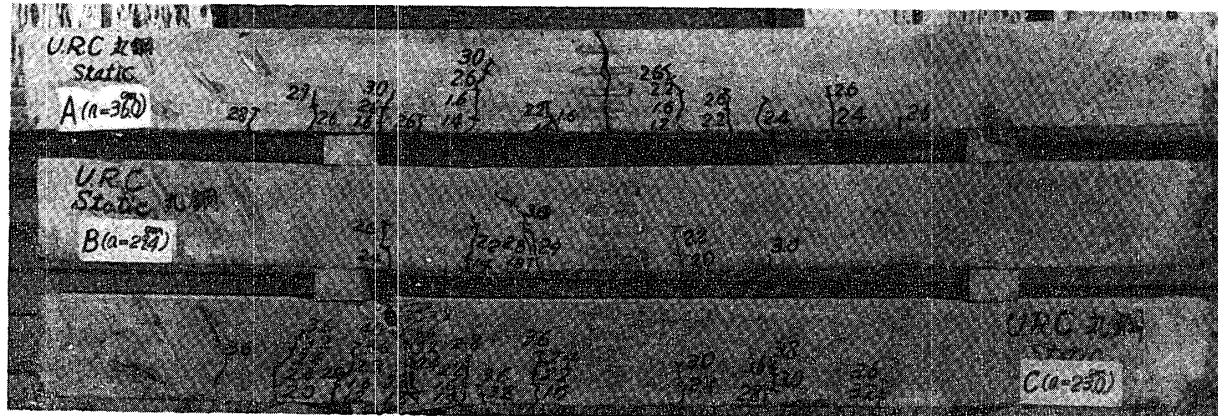


Photo. 4 a Left side crack of URC steel bar beam

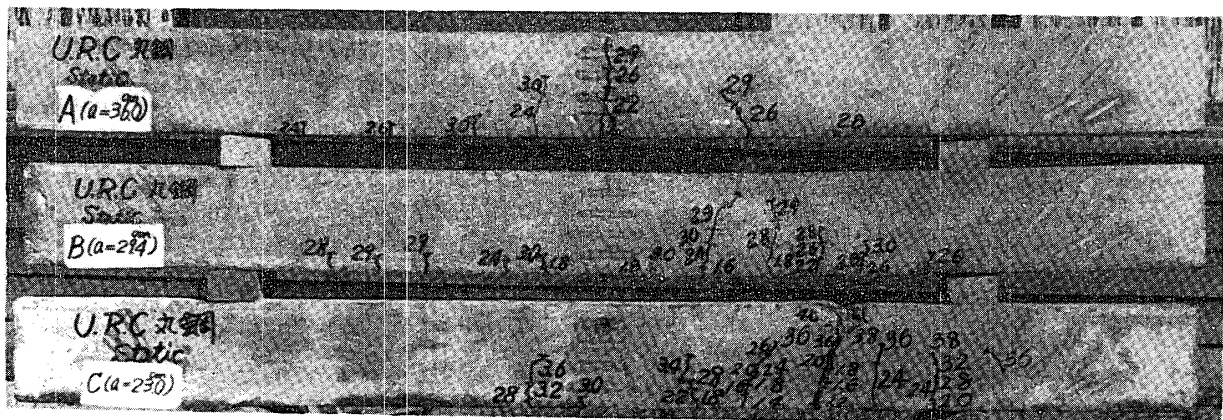


Photo. 4 b Right side crack of URC steel bar beam

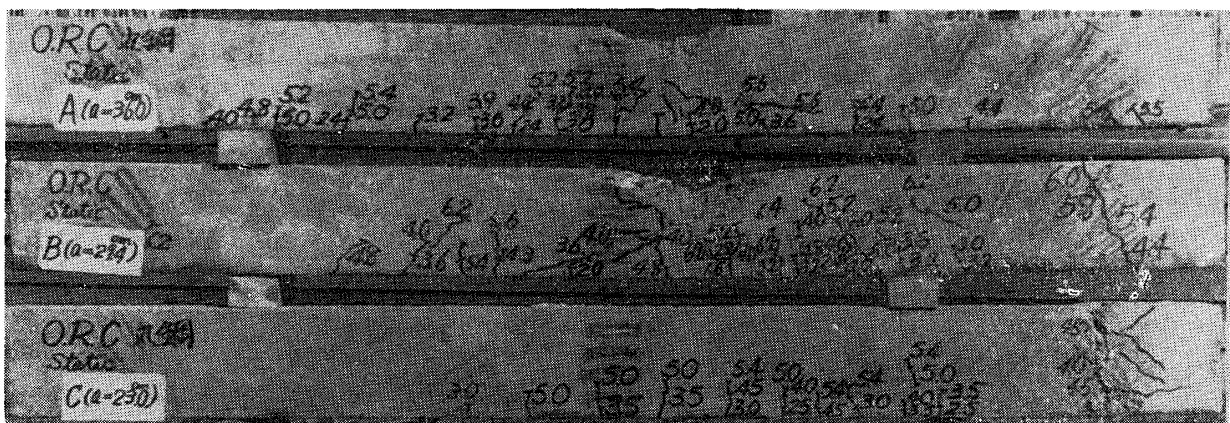


Photo. 5 a Left side crack of ORC steel bar beam

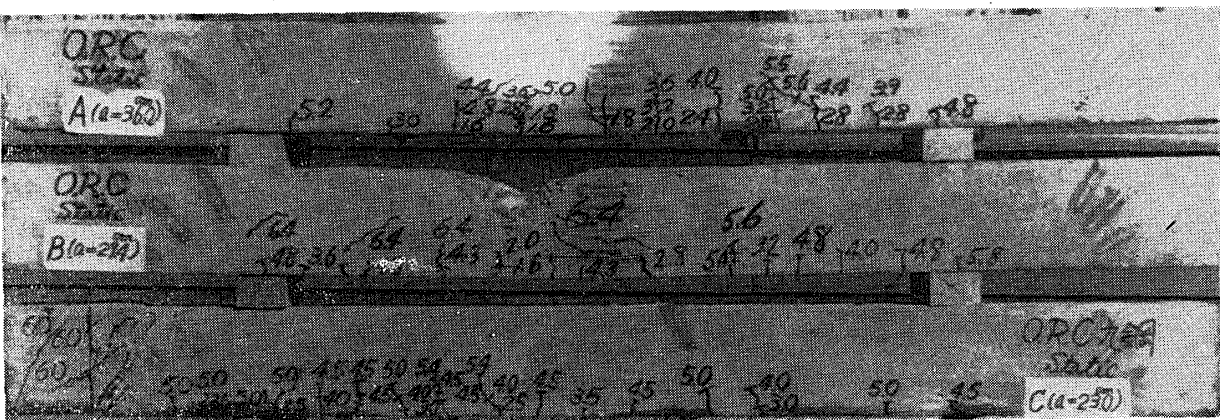


Photo. 5 b Right side crack of ORC steel bar beam

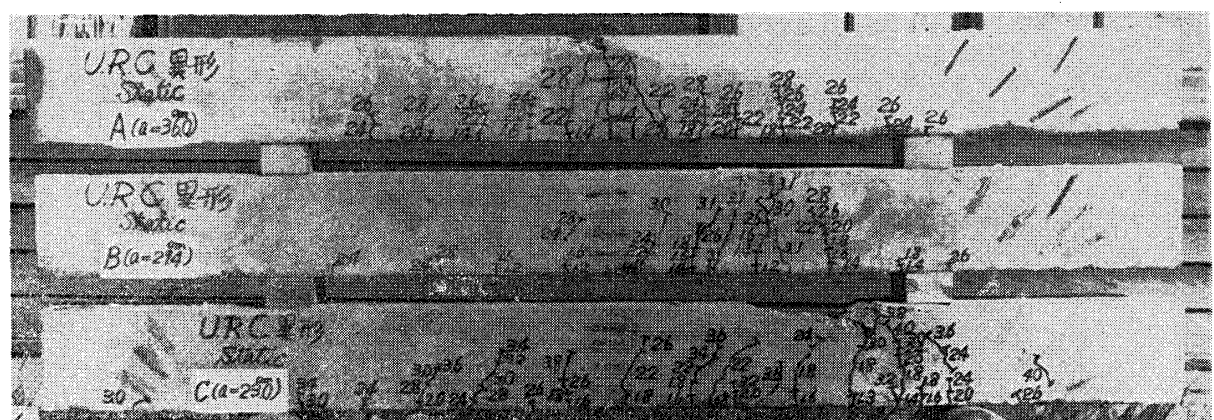


Photo. 6 a Left side crack of URC deformed steel bar beam

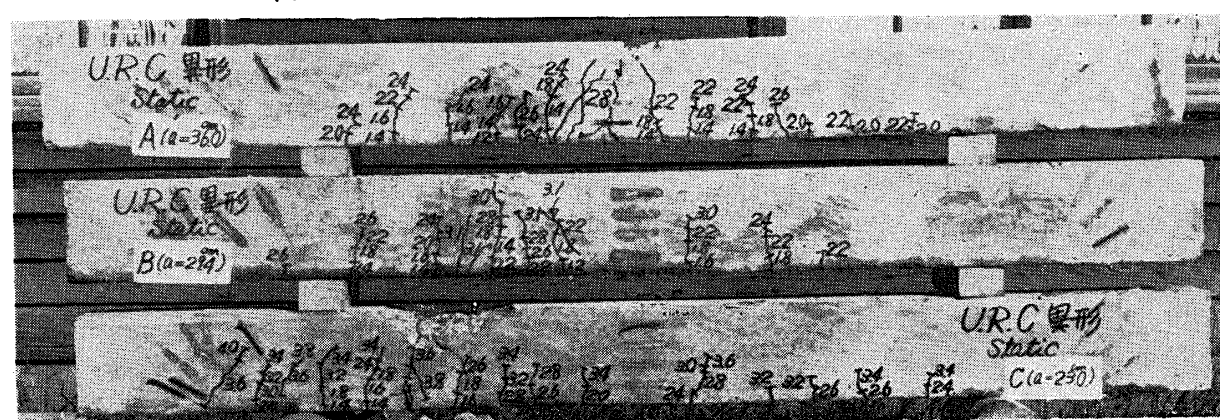


Photo. 6 b Right side crack of URC deformed steel bar beam

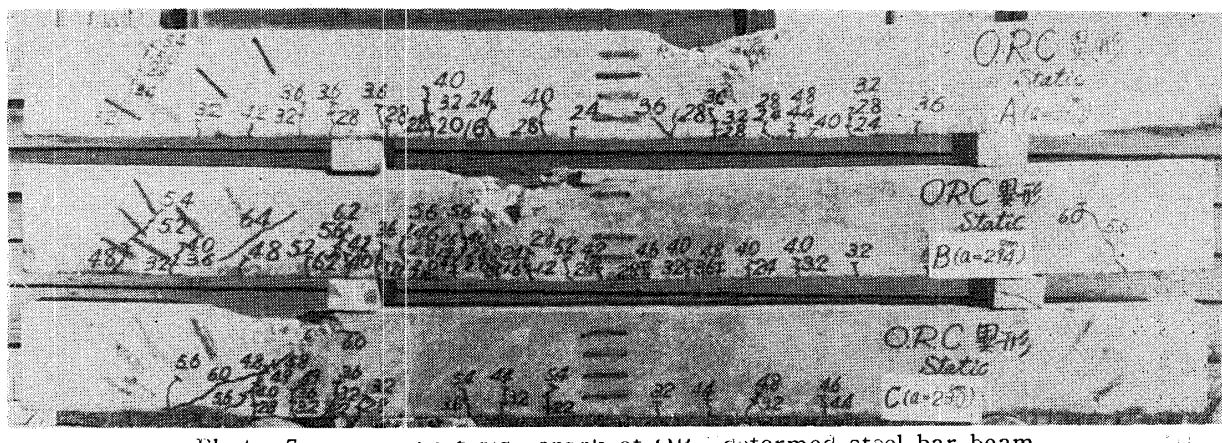


Photo. 7 a Left side crack of ORC deformed steel bar beam

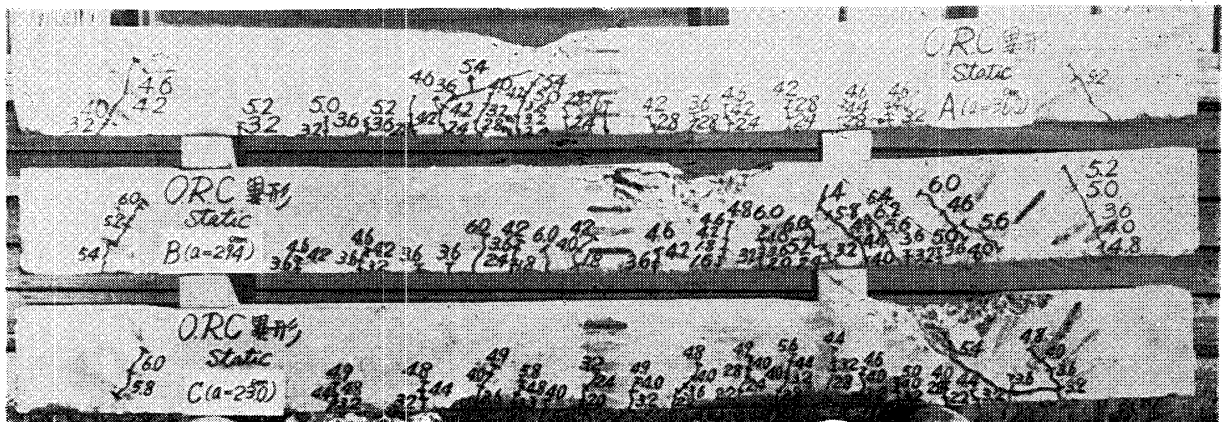


Photo. 7 b Right side crack of ORC deformed steel bar beam

4. 実験結果の考察

4.1 低鉄筋ばかりと過鉄筋ばかりとの比較

(1) たわみについて

(a) 丸鋼ばかりの場合、供試体A, B, Cに関し、低、過鉄筋ばかりともに順次たわみが小となり、その理論的荷重条件を満足する。低鉄筋ばかりは負荷のある限界までは直線的变化を示し、その後急増して破壊にいたるが、過鉄筋ばかりは荷重の上昇にともないたわみの漸減増をするが、ある限界に達すると低鉄筋の場合と同様に急増して破壊にいたる。

(b) 異形丸鋼ばかりの場合、この場合は低、過鉄筋ばかりともにある限界までは、供試体B, A, Cの順にたわみの増加する傾向であるが、その限界後は丸鋼ばかりの場合と同様である。

(c) 丸鋼、異形丸鋼ばかりの比較、低鉄筋ばかりの場合は、丸鋼、異形丸鋼ばかりともにたわみの増加は同傾向であるが、過鉄筋ばかりは付着の効果が考えられて後者がたわみは全般的に小さい。

(2) a_2 , b_2 , d_2 の斜ひずみとCの曲げひずみの様相

(a) 丸鋼ばかりの場合、低鉄筋ばかりは供試体Aにおいては、 a_2 , d_2 および b_2 も大きい変化はないが、Cの曲げひずみは大きい。供試体Bにおいては a_2 , d_2 および b_2 はAの場合と同様であるが、Cの曲げひずみも決定的なものではなく荷重点の曲げ破壊である。供試体Cにおいては a_2 , d_2 は相当大きいひずみ値に達し、 b_2 も大きい値になるが荷重点の曲げ破壊であり、スパン中央の曲げひずみは小さい。過鉄筋ばかりは供試体Aにおいて a_2 , d_2 および b_2 も相当大きいひずみになるが、Cの曲げひずみ大となり曲げ破壊となる。供試体Bは a_2 , d_2 , b_2 とともに約 $1.0 \cdot 10^{-4}$ のひずみより急に大となり、Cの曲げ圧縮ひずみも約 $20 \cdot 10^{-4}$ の値に達するが荷重点付近の曲げ破壊である。供試体CもBの場合と同様、 a_2 , d_2 , b_2 とともに約 $1.0 \cdot 10^{-4}$ のひずみより急にひずみの増加をなし、 a_2 位置付近の重複せん断破壊を示し、荷重位置より離れたCの曲げひずみは大きくならない。

(b) 異形丸鋼ばかりの場合、異形丸鋼低鉄筋ばかりは供試体Aにおいては a_2 , d_2 および b_2 も大きい変化なく、またCの圧縮曲げひずみも割合に小さいが、スパン中央数ヶ所の集団的垂直に近いひびわれの曲げ破壊を示

す。供試体Bは a_2, d_2 がある荷重段階にて変化して相当大きいひずみに達し、 b_2 はその変化点より小さい値をとるにいたり、またCの曲げ圧縮ひずみは余り大きくならない。すなわち、低鉄筋ばかりであるが中立軸はほとんど同一位置を保ち、スパン内の中の荷重点付近の数ヶ所の垂直に近い集団ひびわれを生じ曲げ破壊にいたる。供試体Cは a_2, d_2 は相当に大きいひずみに達するが、 b_2 はある限界点を過ぎると急増して大きいひずみとなる。ただし、この場合もCの圧縮縁ひずみはそれほど大きいひずみではなく、荷重点位置付近の垂直に近い集団ひずみにより曲げ破壊した。異形丸鋼過鉄筋ばかりは供試体Aにおいては a_2, d_2 は相当の大きなひずみ値になるが、 b_2 は余り大きくならない。しかるにCの圧縮縁曲げひずみはコンクリートの破壊ひずみに達し曲げ破壊である。供試体Bは a_2, d_2 とともに大きくなり破壊ひずみに早く達し、 b_2 も相当大きい値となる。またCの圧縮縁ひずみも $25 \cdot 10^{-4}$ のひずみ値に達し、 a_2, d_2 におくれて圧縮帶破壊をともない、曲げせん断破壊である。供試体Cは a_2, d_2 がかなり大きなひずみとなり、 b_2 はより以上大きなひずみにて b_2 ゲージのわずか下部に斜ひびわれを生じ、せん断破壊である。したがつてスパン中央の曲げひずみはわずかに $10.5 \cdot 10^{-4}$ 程度に達するのみにて、曲げ破壊の傾向はまったくあらわれない。

(c) 丸鋼、異形丸鋼ばかりの比較、低鉄筋ばかりの場合；～供試体A異形丸鋼ばかりは圧縮縁ひずみは小くて、全スパンにわたり内応力の分配が均等になされたことを示し、引張縁ひずみは丸鋼ばかりが大きな急増ひずみに対し、異形丸鋼ばかりは漸増傾向を示して付着力の影響の大きいことを示す。供試体Bの異形丸鋼ばかりは付着力の大なることより丸鋼ばかりに比べて圧縮縁ひずみは小さいこと、 a_2, d_2 のひずみは丸鋼ばかりより大きく起こるのであるが、等しく荷重点付近の曲げ破壊である。供試体Cは丸鋼、異形丸鋼ばかりとも a_2, d_2 は大きくなるが、結局は荷重点付近の曲げ破壊と考えられるが、異形丸鋼ばかりの b_2 はあるひずみ値より急にひずみの増すことを示している。これははり全領域に力学的再調整がなされていることを示すものといえる。

過鉄筋ばかりの場合；～供試体Aは丸鋼、異形丸鋼ばかりとも a_2, d_2 は非常に大きいひずみ値を示し、 b_2 は前者が大きいひずみ値を示す。Cの圧縮縁曲げひずみ値は、前者は局部異状のためか縮みが生じ、後者は $30 \cdot 10^{-4}$ のひずみに達するが、前者は荷重点位置近くの斜ひびわれをともなう曲げ破壊、異形丸鋼ばかりも斜ひびわれによる同傾向の破壊であるが、 a_2 の付近はほとんど同時にせん断破壊に近くなる。供試体Bは丸鋼、

異形丸鋼ばかりとともに a_2, d_2, b_2 は大となり、Cの曲げひずみは前者は圧縮帶の破壊位置に近くかなり大きいひずみ値を示し曲げ破壊となるが、異形丸鋼ばかりは破壊時ひずみに達し、また支点近くの斜ひびわれをともないせん断一曲げ破壊となる。供試体Cは丸鋼ばかりの場合 a_2, d_2, b_2 はある限界点より急にひずみが増大し、 a_2 位置のせん断破壊を生ずる。異形丸鋼ばかりは a_2, d_2, b_2 が漸変して非常に大きいひずみに達するが、実際の破壊は中荷重点より支点に向かう斜ひびわれによるせん断破壊である。

(d) 中立軸の位置、丸鋼、異形丸鋼の低鉄筋、過鉄筋ばかりの中立軸の位置を、スパン中央の曲げひずみの分布より求めてみると、本実験においては両者とも低鉄筋ばかりは荷重増に従い漸次上昇するが、過鉄筋ばかりはほとんど同一高さを保ち破壊直前に下る結果を示した。

(e) a_2, d_2 のひずみによるはり破壊の傾向、丸鋼、異形丸鋼ばかりのせん断ひずみ a_2, d_2 について考えると、ともに

低鉄筋ばかり～破壊までほぼ一定の割合にて漸増する
過鉄筋ばかり～ある限界点以後は急激に増加する

せん断ひずみは低鉄筋、過鉄筋ばかりともにある限界点付近まではほぼ等しい。これらの実験性状は、低鉄筋ばかりは曲げ破壊が先行し、過鉄筋ばかりは鉄筋量の関係にて曲げ抵抗が大きいため、せん断力の影響がはりの破壊機構に大きく影響するものと考えられる。

4.2 鉄筋コンクリートばかりの破壊領域の判定

鉄筋コンクリートばかりの a/d とはり破壊領域との関係は、はりの中立軸よりの距離 v, x に対するコンクリート応力を τ_{cv}, σ_{cy} とすると

$$v = x \sigma_{cv}^n / \sigma_{cy}^n \quad (a)$$

鉄筋コンクリートの破壊曲げモーメント M_u の式²⁾

は

$$M_u = \mu \cdot \sigma_{cy} \cdot x \cdot b \cdot (d - \nu x) \quad (b)$$

(a)式中の σ_{cy} に(b)式を変化して代入すると

$$\sigma_{cv} = M_u \frac{1}{n} / \mu x \frac{n+1}{n} b (d - \nu x)$$

$$\frac{d \sigma_{cv}}{dl} = v \frac{1}{n} S / \mu x \frac{n+1}{n} b (d - \nu x) \quad (c)$$

(c) 式中、 $S = dM/dl$ 、 S ＝せん断力

はりの中立軸に平行なある仮定断面に働くせん断応力を τ_{v_0} とすれば次式が成立する。

$$\tau_{v_0} b dl = \left\{ S dl / \mu x \frac{n+1}{n} (d - \nu x) \right\} \int_{v_0}^x v^{-\frac{1}{n}} dv$$

$$\therefore \tau_{v_0} = S \left(x^{\frac{n+1}{n}} - v_0^{\frac{n+1}{n}} \right) / b x^{\frac{n+1}{n}} (d - \nu x) \quad (1)$$

(1)式中、 $v_0 = 0$ とすれば中立軸およびそれ以下の断面のせん断応力 τ となり

$$\tau = S/b(d - \nu x) \quad (2)$$

一般に、鉄筋コンクリートばかりの負荷時には、 a をシアースパンとするときの関係がある。

$$M = Sa \quad (d)$$

(d)式中の M 、 S は次式であらわされる。

$$M = \mu \tau_c x b (d - \nu x)$$

$$S = \tau b (d - \nu x)$$

(d)式により a を求めると

$$a = \mu \tau_c x / \tau \quad (e)$$

(e)式中、 $x = kd$ 、 τ_c は σ_{cy} 、 $\tau = \sigma_{cy}/10$ とすると

$$a/d = 10\mu k \quad (3)$$

式中、 $\mu = n/(n+1)$

$n = 1.3$ 次³⁾、弾塑性領域（せん断破壊先行の

場合）～ $\mu = 0.565$

$n = 5$ 次³⁾、塑性限（曲げ破壊の場合）～ $\mu =$

0.834

(3)式について、 a/d の略値と鉄筋コンクリートの破壊機構との関係を示すと、

せん断破壊領域～ a/d が約 5.65 以下

せん断一曲げ破壊領域～

（せん断一圧縮、せん断引張破壊）

a/d が約 (5.65 ～ 8.34)

曲げ破壊領域～ a/d が約 3.34 以上

以上において、 k 値（中立軸位置係数）⁴⁾ は

低鉄筋ばかり； $k = p\gamma_y/\mu$ 、 $\gamma_y = \sigma_{sy}/\sigma_{cy}$

過鉄筋ばかり；

$$k = \left\{ -5250p + \sqrt{(5250p)^2 + 4\mu\tau_{cy} \times 5250p} \right\} / 2\mu\tau_{cy}$$

以下(3)式の理論にもとづいて、本実験の場合を立証してみることにする。

(1) 丸鋼ばかりの場合について

丸鋼ばかりの低鉄筋、過鉄筋ばかりに対し(3)式を適用し、鉄筋コンクリートばかりに多点負荷された場合の破壊様相の判定をしてみると Table 2 となる。

(2) 異形丸鋼ばかりの場合について

異形丸鋼ばかりの低鉄筋、過鉄筋ばかりに対し、(1)の場合と同様に計算すると Table 3 となる。

以上、 a/d による鉄筋コンクリートばかりの破壊領域に関する判定法を、丸鋼、異形丸鋼ばかりの低鉄筋、過鉄筋ばかりについて、各 3 種の 3 点荷重様相における破壊荷重を用いて計算した実験上の a/d と(3)式による判定は、Photo. 4, 5 および Photo. 6, 7 に対比するときその結果がきわめてよく一致することがわかる。丸鋼と異形丸鋼との比較は、前者がひびわれ間隔が不規則で大きいのに対し、後者は間隔がほぼ等しく小さい力学的安定の特性をもつが、その破壊領域の限界は両者とも同じ理論にて判定できる。

Table 2 Judgments of modes of failure of steel bar reinforced concrete beams

| Specimens Each terms | Under reinforced conc. beam | | | Over reinforced conc. beam | | |
|-------------------------------|-----------------------------|-----------|------------|----------------------------|-----------|-----------|
| | A | B | C | A | B | C |
| A_s, cm^2 | 2.58 | 2.58 | 2.58 | 7.74 | 7.74 | 7.74 |
| b, cm | 12.0 | 12.0 | 12.2 | 12.0 | 12.1 | 12.3 |
| h, cm | 18.5 | 18.6 | 18.8 | 18.6 | 18.6 | 18.7 |
| d, cm | 16.0 | 15.8 | 16.1 | 14.5 | 14.9 | 15.2 |
| bd, cm^2 | 192 | 190 | 195 | 174 | 180 | 187 |
| d', cm | 2.5 | 2.8 | 2.7 | 4.1 | 3.7 | 3.5 |
| $p, \%$ | 1.34 | 1.36 | 1.31 | 4.45 | 4.29 | 4.14 |
| $\sigma_{sy}, \text{kg/cm}^2$ | 2,900 | 2,900 | 2,900 | 2,900 | 2,900 | 2,900 |
| $\sigma_{cy}, \text{kg/cm}^2$ | 264 | 264 | 258 | 241 | 241 | 253 |
| γ_y | 11.0 | 11.0 | 11.2 | | | |
| $p\gamma_y$ | 0.147 | 0.150 | 0.147 | | | |
| k | 0.176 | 0.180 | 0.176 | 0.557 | 0.532 | 0.552 |
| a/d (Formula) | 1.47～0.995 | 1.50～1.02 | 1.47～0.995 | 4.65～3.15 | 4.44～3.01 | 4.61～3.12 |
| a/d (Experiment) | 6.76 | 4.65 | 3.27 | 7.44 | 4.93 | 3.41 |
| Judgment | B-F | B-F | B-F | B-F | B-F | S-B-F |

Table 3 Judgments of modes of failure of deformed steel bar reinforced concrete beams

| Specimens Each terms | Under reinforced conc. beam | | | Over reinforced conc. beam | | |
|-------------------------------|-----------------------------|-----------|-----------|----------------------------|-----------|-----------|
| | A | B | C | A | B | C |
| As, cm^2 | 2.61 | 2.61 | 2.61 | 7.83 | 7.83 | 7.83 |
| b, cm | 12.4 | 12.4 | 12.5 | 12.2 | 12.4 | 12.5 |
| h, cm | 18.7 | 18.9 | 18.9 | 18.9 | 18.9 | 18.8 |
| d, cm | 16.2 | 16.1 | 16.3 | 14.9 | 14.8 | 15.3 |
| bd, cm^2 | 201 | 200 | 204 | 182 | 184 | 191 |
| d', cm | 2.5 | 2.8 | 2.6 | 4.0 | 4.1 | 3.5 |
| $p, \%$ | 1.25 | 1.31 | 1.28 | 4.31 | 4.27 | 4.09 |
| $\sigma_{sy}, \text{kg/cm}^2$ | 3,620 | 3,620 | 3,620 | 3,620 | 3,620 | 3,620 |
| $\sigma_{cy}, \text{kg/cm}^2$ | 234 | 234 | 234 | 227 | 227 | 234 |
| γ_y | 15.5 | 15.5 | 15.5 | | | |
| $p\gamma_y$ | 0.194 | 0.203 | 0.198 | | | |
| k | 0.233 | 0.244 | 0.237 | 0.633 | 0.647 | 0.631 |
| a/d (Formula) | 1.32~1.94 | 1.15~2.03 | 1.44~1.98 | 3.58~5.28 | 3.66~5.40 | 3.57~5.27 |
| a/d (Experiment) | 6.27 | 4.86 | 3.23 | 7.25 | 4.95 | 3.44 |
| Judgment | B-F | B-F | B-F | B-F | S-B-F | S-F |

5. 結 言

(1) たわみについて、丸鋼、異形丸鋼ばかりとも低鉄筋ばかりは直線的変化をなし、ある限界点以後急増破壊にいたる。過鉄筋ばかりは荷重の上昇にともない漸減増し、ある限界点以後急増破壊にいたるが、異形丸鋼ばかりは付着効果のため丸鋼ばかりに比し全般的に小さいたわみを示す。

(2) a_2 , b_2 , d_2 および c の位置のペーパーゲージによる測定ひずみを、各荷重様相の場合について考察したが、写真による実際の破壊様相の吟味ならびにその他の理論結果と一致する。

(3) せん断ひずみ a_2 , d_2 の考察の結果、低鉄筋ばかりは一般に曲げ破壊が先行し、過鉄筋ばかりはせん断力の影響がはり破壊機構に大きく影響する。

(4) 丸鋼、異形丸鋼ばかりとも破壊荷重を用いて計算した実験上よりの a/d と、(3)式の理論計算による a/d との比較判定の結果は 3 点負荷の場合もよく一致し、また写真によるはり破壊機構ともよく合致し、はりのせん断破壊機構の第 1 グループの理論適用が、本研究のごとき第 2 グループの場合にも適用して差支えないことが立証できた。

(5) 丸鋼、異形丸鋼ばかりを本実験の結果より比較す

るとき、異形丸鋼ばかりが力学的安定の特性を示す。

終りに、本実験にご協力頂いた岩田真次（宇部興産）、小畠典忠（大林組）、片田宏（神戸市役所）、古賀紀四郎（佐賀県庁）、富田明（京阪電鉄）、村上治（福岡県庁）の皆さんに感謝の意を表する次第である。

参 考 文 献

- 1) R. H. Bryant, A. C. Bianchin, J. J. Rodriguez, C. E. Kesler : Shear Strength of Two Span Continuous Reinforced Concrete Beams with Multiple Points Loading, ACI 59, No. 9 (1962)
- 2) 加賀美一二三：土木学会論文集, 19 (1954)
- 3) 加賀美一二三：材料試験, 6, 46 (1957)
- 4) 加賀美一二三：土木学会論文集, 92 (1963)
- 5) 加賀美一二三：セメント技術年報, XVIII (1964)
- 6) G. N. J. Kani : The Riddle of Shear Failure and Its Solution, ACI 61, No. 4 (1964)
- 7) W. J. Krefeld, C. W. Thurston : Studies of the Shear and Diagonal Tension Strength of Simply Supported Reinforced Concrete Beams, ACI 63, No. 4 (1966)
- 8) G. N. J. Kani : Basic Facts Concerning Shear Failure (Uniformly Distributed Load), ACI 63, No. 6 (1966)

(昭和42年1月9日受理)